08

Химическое приготовление нанокластеров золота на поверхности GaP(001) и спектроскопия их анизотропных плазмонов

© В.Л. Берковиц¹, В.А. Кособукин, ¹, В.П. Улин¹, А.В. Нащекин¹, С.А. Хахулин²

1 ФТИ им А.Ф. Иоффе, Санкт-Петербург, Россия

² Санкт-Петербургский государственный электротехнический университет "ЛЭТИ", Санкт-Петербург, Россия E-mail: vladimir.berkovits@mail.ioffe.ru

Поступило в Редакцию 25 ноября 2024 г. В окончательной редакции 26 декабря 2024 г. Принято к публикации 5 января 2025 г.

Химическим способом, не требующим прогрева образцов, приготавливались нанокластеры золота на поверхности (001) кристаллов GaP. Выполнена характеризация полученных наноструктур Au/GaP и исследованы плазмоны в них методом спектроскопии анизотропного отражения света. Показано, что спектральная особенность при энергии около 2 eV принадлежит плазмонам слабоанизотропных нанокластеров Au, вытянутых преимущественно в кристаллографическом направлении [110] на поверхности GaP(001).

Ключевые слова: кластеры золота, фосфид галлия, поляризационная спектроскопия, анизотропные плазмоны.

DOI: 10.61011/PJTF.2025.09.60225.20197

Создание и исследование новых наноструктур и материалов на основе полупроводников с кластерами благородных металлов весьма актуальны для оптоэлектроники и нанофотоники [1]. Одним из направлений этой деятельности является создание на поверхности полупроводников $A^{III}B^V$ нанокластеров золота, обладающих высокодобротными плазмонами. Например, в работах [2,3] при прогреве тонких пленок Au на поверхности GaAs в зависимости от ее состояния было получено три принципиально различных вида анизотропных кластеров золота и его интерметаллидов. Однако указанная технология приготовления структур Au/GaAs имеет ограничения из-за того, что для образования кластеров путем химического взаимодействия Au с GaAs требуется высокотемпературный отжиг образцов.

В настоящей работе в отличие от цитированных работ применен способ химического приготовления нанокластеров Аu на поверхностях GaP(001), который не требует прогрева образцов. Этим методом получены новые структуры Au/GaP, выполнена их характеризация и исследованы спектры анизотропных плазмонов. Следует отметить, что подобные химические методы получения пленок и частиц Au из раствора золотосодержащей кислоты развивались ранее для подложек GaAs и InP [4,5].

В предлагаемой далее методике приготовления нанокластеров Au поверхности подложек GaP(001) обрабатываются смесью водного $2\cdot 10^{-2}$ M раствора золотохлористоводородной $(HAuCl_4)$ и ортофосфорной (H_3PO_4) кислот в объемном соотношении 5:1. Перед обработкой поверхности подложек очищаются путем кипячения в трихлорметане, изопропиловом спирте, выдерживаются $30\,\mathrm{min}$ в растворе аммиака (NH_4) и промываются деионизованной водой. Затем подложки погружаются в золотосодержащий раствор с темпе-

ратурой $50\,^{\circ}\mathrm{C}$; время обработки образцов в растворе составляет $10{-}20\,\mathrm{min}$.

При химическом контакте анионов $(AuCl_4)^-$ раствора с атомами поверхности кристалла GaP происходит окислительно-восстановительная реакция, в результате которой электроны из валентной зоны GaP переходят на анионы $(AuCl_4)^-$. При этом, согласно реакции

$$(AuCl_4)^- + 3e^- \rightarrow Au + 4Cl^-,$$
 (1)

трехвалентное золото восстанавливается и выделяется на поверхности кристалла в виде атомов Au. В свою очередь на связях атомов Ga и P поверхностного слоя GaP появляются свободные адсорбционные позиции, которые согласно (1) заполняются анионами Cl^- с образованием ионно-ковалентных связей. В итоге происходит отделение от кристалла растворимых в фосфорной кислоте (H_3PO_4) продуктов реакции $GaCl_3$ и PCl_5 (последнее соединение в содержащем воду растворе гидролизуется до $POCl_3$), что приводит к микротравлению поверхности подложки GaP(001). Описываемые процессы представляются формулой

$$3GaP + 8HAuCl_4 + 3H_2O$$

 $\rightarrow 8Au + 3GaCl_3 + 3POCl_3 + 14HCl.$ (2)

Выделившиеся атомы золота обладают высокой подвижностью на поверхности кристалла, которая покрыта кислотой $\rm H_3PO_4$ из раствора. Случайные взаимные столкновения мигрирующих адатомов Au приводят к образованию в адсорбционном слое ассоциатов золота, для которых характерно резкое падение подвижности с увеличением размеров. Малоподвижные ассоциаты становятся зародышами для формирующихся кластеров Au.

Принципиально, что структуры Au/GaP с нанокластерами золота образуются в результате низкотемпературной реакции (2) в противоположность структурам Au/GaAs, требующим сильного прогрева для образования кластеров Au [3].

Полученные структуры Au/GaP характеризовались с помощью сканирующего электронного микроскопа (СЭМ) JSM7001F (JEOL, Japan), результаты представлены на рис. 1. На приведенном СЭМ-изображении виден слой нанокластеров Аи, образовавшихся на поверхности GaP(001), обработанной в растворе кислот HAuCl₄-H₃PO₄ в течение 20 min при температуре $50\,^{\circ}$ С. Из рис. 1, a видно также, что нанокластеры Аи распределены по поверхности случайно, в среднем однородно. Форма многих кластеров в плоскости поверхности близка к круговой, но видна и тенденция к их вытянутости и ориентации. Приведенная на рис. 1, в гистограмма дает для среднего размера кластеров и стандартного отклонения следующие оценки: $\langle a \rangle \approx 54\,\mathrm{nm}$ и $\sqrt{\langle a^2 - \langle a \rangle^2 \rangle} \approx 15$ nm. СЭМ-изображение на рис. 1, c получено после полного химического удаления кластеров золота с поверхности образца аналогично работе [3]. На рис. 1, c видны множественные ямки на поверхности подложки GaP(001), являющиеся результатом ее травления в ходе окислительно-восстановительной реакции.

Результаты исследования структур Au/GaAs показывают [2,3], что кластеры Au, образующиеся на поверхности (001) полупроводника, обладают анизотропией формы и поляризации их плазмонов. Далее мы однозначно доказываем наличие анизотропии плазмонов в структурах Au/GaP и исследуем ее методом плазмоной спектроскопии анизотропного отражения света [6]. Этот метод при нормальном падении света дает зависимость от частоты ω сигнала анизотропии

$$\frac{\Delta R}{R} = 2\frac{R_x - R_y}{R_x + R_y}. (3)$$

Здесь R_{α} — коэффициент отражения света, линейно поляризованного по оси α (x или y) на поверхности GaP(001). Сигнал $\Delta R/R \neq 0$ из формулы (3), безусловно, свидетельствует о наличии анизотропии $(R_x \neq R_y)$, которая в нашем случае означает наличие анизотропии формы кластеров и их ориентации одновременно. Установка для быстрого обнаружения анизотропии кластеров путем непосредственной регистрации спектров (3) без измерения R_{α} описана в работах [2,3]. В эксперименте линейная поляризация света, падающего по нормали на поверхность образца, модулируется вдоль кристаллографических направлений [110] и [110]. Отраженный от поверхности свет детектируется с помощью фотоумножителя с последующей обработкой сигнала синхронным детектором, который обеспечивает чувствительность по сигналу $\Delta R/R$ на уровне 10^{-5} .

На рис. 2 представлены измеренные спектры 1 и 2 анизотропного отражения света $\Delta R/R$ соответственно при отсутствии и наличии на поверхности ${\rm GaP}(001)$

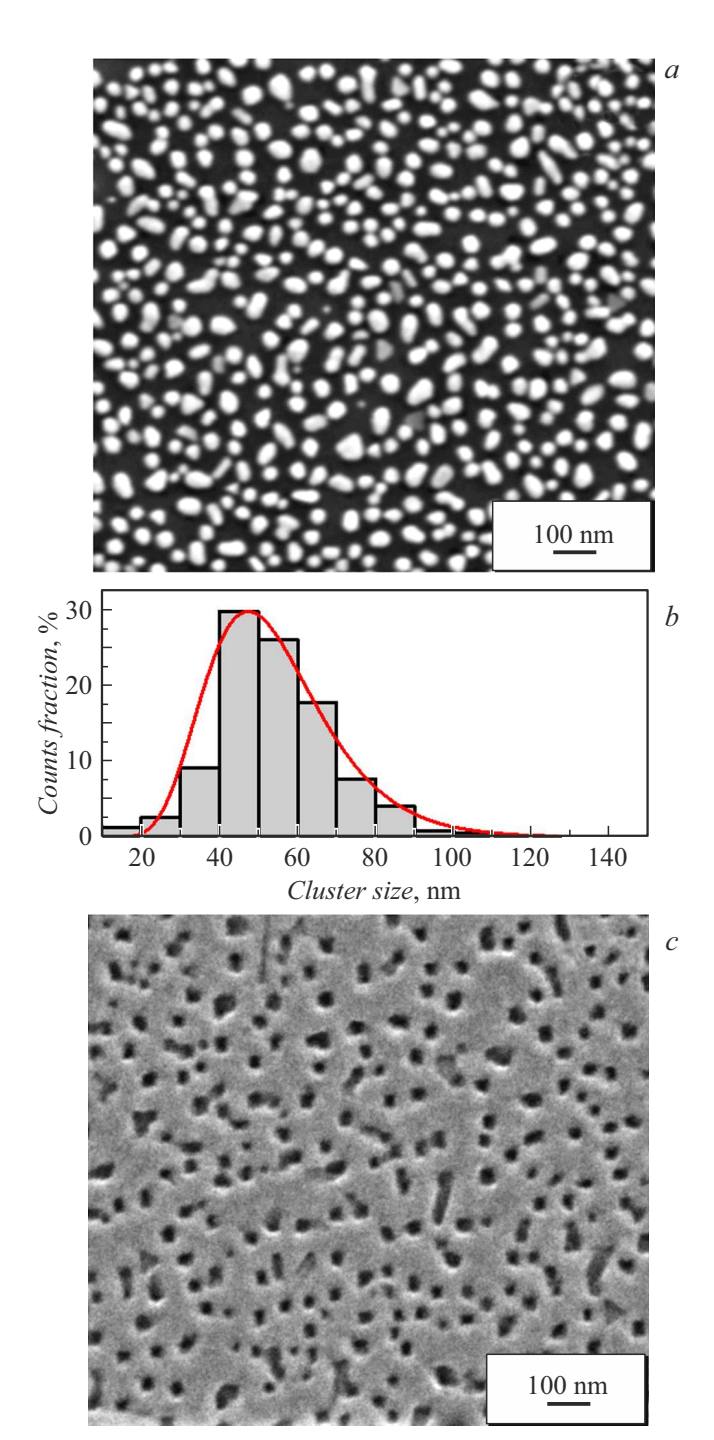


Рис. 1. a — СЭМ-изображение участка поверхности Au/GaP(001) площадью $6\,\mu\mathrm{m}^2$ с нанокластерами золота; b — распределение кластеров Au по линейным размерам, оцененным по площади пятен в плоскости поверхности (плавная линия добавлена для глаза); c — СЭМ-изображение участка той же поверхности GaP, что на фрагменте a, после удаления кластеров Au и промывки.

ансамбля нанокластеров Au, показанного на рис. 1, a. Спектр анизотропного отражения 2, относящийся к ансамблю нанокластеров Au, имеет при энергии около $2\,\mathrm{eV}$ характерный резонансный провал, отсутствующий

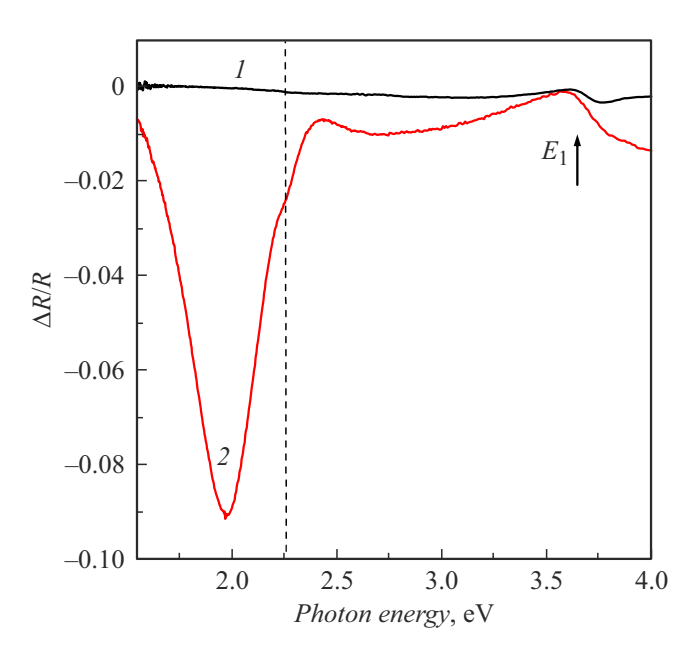


Рис. 2. Спектры анизотропного отражения света $\Delta R/R$ от поверхности GaP(001), измеренные при отсутствии (1) и при наличии (2) ансамбля нанокластеров Au, показанного на рис. 1, а. Штриховая линия соответствует энергии 2.25 eV непрямого межзонного перехода в GaP.

в спектре 1. Согласно формуле (3), наличие провала означает, что $R_y > R_x$ при выборе осей $x \parallel [1\bar{1}0]$ и у || [110] на поверхности GaP. Наблюдаемый резонансный провал в спектре $\Delta R/R$ структуры Au/GaP(001) мы приписываем плазмонам анизотропных кластеров Аи, как в работах [2,3] для структур Au/GaAs(001). Наличие единственной резонансной особенности $\Delta R/R < 0$ в спектре 2 на рис. 2 означает, что частоты максимумов для спектров $R_v \neq R_x$, входящих в (3), близки друг к другу (слабая анизотропия). При этом спектр 2 принципиально отличается от спектров $\Delta R/R$ сильно вытянутых и строго ориентированных кластеров [3], для которых характерны две широкие сильно разнесенные особенности разного знака. Отметим также наличие в спектре 1 на рис. 2 слабой особенности при энергии 2.25 eV, связанной с непрямым межзонным переходом в GaP(001) [7]; последний активизируется благодаря плазмонным нанокластерам Au. Стрелкой на рис. 2 показана не связанная с плазмонами особенность, которая обусловлена переходами E_1 в объеме кристалла GaP.

Для интерпретации наблюдаемых спектров используем, следуя [8], модель сфероидов с длинами полуосей a < b, учитывающую вытянутость кластеров Au, которая видна на рис. 1, а. Наносфероид Аи с субволновыми а и в обладает анизотропными поверхностными плазмонами, поляризованными вдоль его главных осей. Квазиоднородное электрическое поле Е индуцирует дипольный момент $\mathbf{p} = \hat{\chi} \mathbf{E}$ плазмонов, обладающих тензором поляризуемости $\hat{\chi}(\omega) = \hat{\chi}' + i\hat{\chi}''$. При учете плазмонной поляризуемости в выражение (3) входят коэффициенты нормального отражения $R_{lpha}=|r^{(0)}+\Delta r_{lpha}|^2$ с линейными поляризациями света $\alpha = x, y$. Они выражаются через коэффициент $r^{(0)}$ отражения света от кристалла и анизотропные вклады Δr_{α} , обусловленные плазмонами. При вычислении последних далее мы пренебрегаем взаимодействием между дипольными плазмонами разных кластеров (рис. 1, a), а эффект сил изображения со стороны подложки считаем формально включенным в частоту $\omega_{\alpha,n}$ плазмона с α -поляризацией в *п*-м кластере.

В экспериментальном спектре $\Delta R/R$ на рис. 2 резонансный провал с минимумом при энергии $\hbar\omega_R\approx 2\,\mathrm{eV}$ мы связали с плазмонами, локализованными на кластерах Аи. Чтобы энергия такого плазмона, вычисленная для шара с параметрами Au из [9], была близка к $\hbar\omega_R$, нужно положить $\varepsilon_* \gtrsim 6$ для диэлектрической проницаемости окружающей среды. Это значение ε_* (промежуточное между проницаемостями воздуха и GaP) означает, по-видимому, что кластеры Аи находятся в переходном слое между воздухом и GaP. Такой вывод согласуется с приведенным на рис. 1, с СЭМ-изображением поверхности GaP, которая после удаления кластеров Au обнаруживает наноструктурированный рельеф. Ширина $\hbar g_R \approx 0.4\,\mathrm{eV}$ провала в спектре $\Delta R/R$ на рис. 2 существенно превышает ширину $\hbar \varepsilon''(\omega) \omega^3/\omega_p^2 \approx 0.12 \,\mathrm{eV}$ элементарной спектральной линии, которая выражается компонентой поляризуемости $|\chi_{\alpha\alpha}(\omega-\omega_{\alpha,n})|$ плазмона с $\omega_{\alpha,n} \approx \omega_R$. Это заставляет предположить аналогично [3], что спектры $\Delta R/R$ и R_{α} неоднородно уширены вследствие зависимости плазменных частот $\omega_{\alpha,n}$ от формы кластеров.

Обсудим теперь характер неоднородного уширения наблюдаемых плазмонных спектров, предполагая следующее. Поляризуемость $|\chi_{\alpha\alpha}(\omega-\omega_{\alpha,n})|^2$ плазмона с поляризацией по оси α в n-м сфероиде выражается лоренцианом, имеющим максимум на частоте $\omega_{\alpha,n}$ и ширину γ_{α} с $\gamma_{\alpha} \ll \omega_{\alpha,n}$ [3]. Неоднородно уширенный спектр плазмонов состоит из линий $|\chi_{\alpha\alpha}(\omega-\omega_{\alpha,n})|^2$ с близкими частотами $\omega_{\alpha,n}$ для каждой оси α , вдоль которой в среднем ориентированы кластеры. Этот спектр получается путем усреднения по частотам плазмонов $\omega_{\alpha,n}$ (по номерам n) с функцией распределения, имеющей среднюю частоту $\overline{\omega}_{\alpha}$ и ширину δ_{α} . В результате усреднения с распределением Коши для неоднородно уширенных спектров с поляризациями $\alpha = x, y$ получаем выражения вида (ср. с [3])

$$\frac{\Delta R}{R}(\omega) = A_x^{(-)} L_x(\omega - \overline{\omega}_x) - A_y^{(-)} L_y(\omega - \overline{\omega}_y), \quad (4)$$

$$R_{\alpha}(\omega) = R^{(0)}(\omega) + A_{\alpha}^{(+)} L_{\alpha}(\omega - \overline{\omega}_{\alpha}), \tag{5}$$

$$R_{\alpha}(\omega) = R^{(0)}(\omega) + A_{\alpha}^{(+)} L_{\alpha}(\omega - \overline{\omega}_{\alpha}), \tag{5}$$
$$L_{\alpha}(\omega - \overline{\omega}_{\alpha}) = \frac{\omega \Delta_{\alpha}/2}{(\omega - \overline{\omega}_{\alpha})^{2} + (\Delta_{\alpha}/2)^{2}}. \tag{6}$$

Здесь ширина $\Delta_{\alpha}=\gamma_{\alpha}+\delta_{\alpha}$ неоднородно уширенного пика включает константы однородного γ_{α} и неоднородного δ_{α} уширения, а коэффициенты $A_{\alpha}^{(\mp)}>0$ вычисляются с учетом размеров кластеров Аи, показанных на рис. 1.

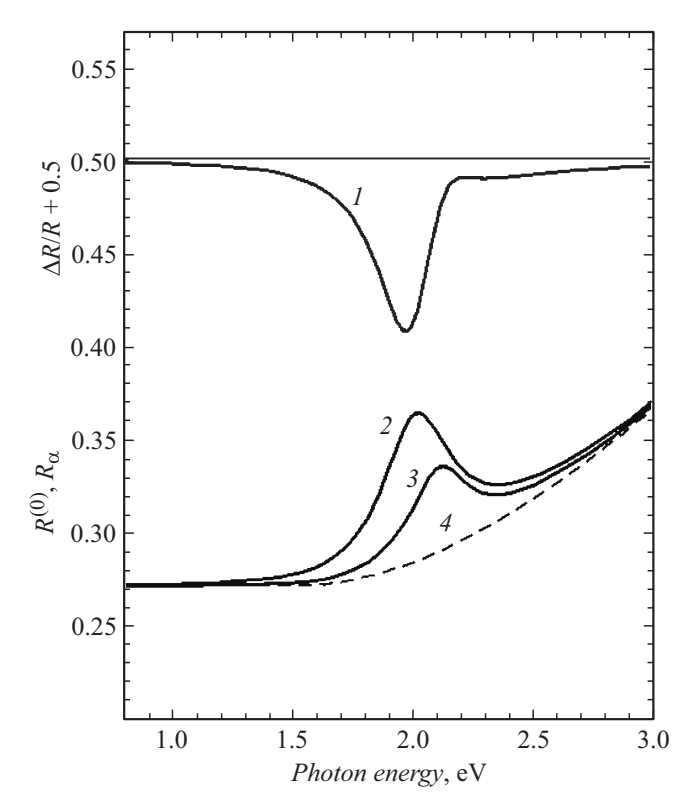


Рис. 3. Теоретические неоднородно уширенные оптические спектры анизотропного отражения $\Delta R/R+0.5$ (I) и поляризованного отражения R_y (2) и R_x (3) от поверхности GaP с кластерами Au. Штриховой линией показан спектр отражения света $R^{(0)}$ (4) кристаллом GaP в отсутствие кластеров. Вычисления проведены с параметрами GaP из [7] и Au из [9], спектр $\Delta R/R$ поднят на 0.5 для удобства.

Приведенные на рис. 3 неоднородно уширенные спектры $\Delta R/R$ и R_α рассчитаны по формулам (4)—(6) при следующих значениях параметров (eV): $\hbar \overline{\omega}_y = 2$, $\hbar \overline{\omega}_x = 2.1$, $\hbar \gamma_y = 0.2$, $\hbar \gamma_x = 0.15$, $\hbar \delta_x = \hbar \delta_y = 0.15$. Видно, что неоднородно уширенный спектр $\Delta R/R$, представленный кривой I на рис. 3, хорошо согласуется с экспериментальным спектром 2, показанным на рис. 2. Независимо усредненные коэффициенты отражения света R_y и R_x , рассчитанные по формуле (5), показаны на рис. 3 для полноты.

Итак, на поверхности GaP(001) в результате ее химической реакции с раствором золотосодержащей кислоты созданы нанокластеры Au. Методами СЭМ-характеризации и оптической спектроскопии доказано наличие анизотропии формы кластеров Au и их плазмонов. Показано, что удлиненные кластеры Au ориентированы преимущественно в направлении [110] на поверхности GaP, как в системах Au/GaAs, изученных ранее [3].

Конфликт интересов

Авторы заявляют, что у них нет конфликта интересов.

Список литературы

- A.A. Toropov, T.V. Shubina, Plasmonic effects in metalsemiconductor nanostructures (Oxford University Press, 2015).
- [2] V.L. Berkovits, V.A. Kosobukin, V.P. Ulin, P.A. Alekseev, F.Yu. Soldatenkov, V.S. Levitskii, Phys. Status Solidi B, 259, 2100394 (2022). DOI: 10.1002/pssb.202100394
- [3] V.L. Berkovits, V.A. Kosobukin, V.P. Ulin, P.A. Alekseev, B.R. Borodin, F.Yu. Soldatenkov, A.V. Nashchekin, S.A. Khakhulin, O.S. Komkov, Surf. Sci., 742, 122437 (2024). DOI: 10.1016/j.susc.2023.122437
- [4] Ю.А. Гольдберг, Д.Н. Наследов, Б.В. Царенков, ПТЭ, № 3, 207 (1971).
- [5] S.Y. Sayed, B. Daly, J.M. Buriak, J. Phys. Chem., 112, 12291 (2008). DOI: 10.1021/jp803888g
- [6] В.Л. Берковиц, В.А. Кособукин, В.П. Улин, А.Б. Гордеева, В.Н. Петров, Письма в ЖЭТФ, 98 (10), 687 (2013).
 DOI: 10.7868/S0370274X13220074 [V.L. Berkovits, V.A. Kosobukin, V.P. Ulin, A.B. Gordeeva, V.N. Petrov, JETP Lett., 98 (10), 614 (2014). DOI: 10.1134/S0021364013230033].
- [7] D.E. Aspnes, A.A. Studna, Phys. Rev. B, 27 (2), 985 (1983).DOI: 10.1103/PhysRevB.27.985
- [8] В.А. Кособукин, А.В. Коротченков, ФТТ, 58 (12), 2446 (2016). DOI: 10.21883/ftt.2016.12.43871.164
 [V.A. Kosobukin, A.V. Korotchenkov, Phys. Solid State, 58 (12), 2536 (2016). DOI: 10.1134/S1063783416120131].
- [9] P.B. Johnson, R.W. Chrystie, Phys. Rev. B, 6 (12), 4370 (1972). DOI: 10.1103/PhysRevB.6.4370